

مقاله علمی-پژوهشی

بررسی تأثیر مدیریت آبیاری بر نوسانات سطح آب زیرزمینی کم عمق (یک مطالعه موردی: مناطق میان‌دوآب و مهاباد)

عبدالرحیم فیروزی^۱ - سید مجید میرلطیفی^{۲*} - حامد ابراهیمیان^۳

تاریخ دریافت: ۱۳۹۸/۰۲/۰۹

تاریخ پذیرش: ۱۳۹۹/۰۳/۱۰

چکیده

امروزه فعالیت‌های انسانی در بخش کشاورزی به‌خصوص در نواحی خشک و نیمه‌خشک بر روی چرخه و انتقال آب سطحی و زیرزمینی تأثیر به‌سزایی داشته است. از این رو، بررسی وضعیت منابع آب زیرزمینی دارای اهمیت است. تخمین‌های مناسب و قابل‌اعتماد تغذیه ناشی از آبیاری بر آب زیرزمینی می‌تواند در این امر موثر باشد. به منظور بررسی تأثیر آبیاری بر تغذیه آبخوان، یک مزرعه گندم، دو مزرعه جو و سه مزرعه چغندرکند در شهرستان میان‌دوآب و دو مزرعه گندم در شهرستان مهاباد در حوضه دریاچه ارومیه تحت مدیریت کشاورزان انتخاب شدند. شبیه‌سازی نفوذ با استفاده از مدل HYDRUS-1D در طول دوره رشد محصولات مذکور انجام شد. با پایش رطوبت خاک در این مزارع، مدل با رطوبت‌های خاک اندازه‌گیری شده از طریق حل معکوس، واسنجی و صحت‌سنجی شد. دقت مدل بعد از انجام مراحل واسنجی و صحت‌سنجی در تخمین جریان آب در داخل خاک مناسب بود. مقادیر ضریب تعیین و خطای جذر میانگین در مرحله واسنجی به ترتیب بین ۰/۰۶ تا ۰/۸۵ و ۰/۱۷ تا ۰/۳۳ $\frac{\text{cm}^3}{\text{cm}^3}$ به دست آمد. ضریب تعیین و خطای جذر میانگین مربعات در مرحله صحت‌سنجی نیز به ترتیب بین ۰/۶۲ تا ۰/۸۸ و ۰/۰۲ تا ۰/۲۳ $\frac{\text{cm}^3}{\text{cm}^3}$ به دست آمد. پس از واسنجی مدل، تغییرات رطوبت در اعماق مختلف خاک تا سطح آبخوان توسط مدل شبیه‌سازی شد. پیشروی رطوبت در عمق خاک از عمق ۰/۷ تا ۴/۷ توسط مدل برآورد شد. آب آبیاری سبب تغذیه آب زیرزمینی در مزارع مورد مطالعه شد که این میزان تغذیه در اثر آبیاری و بارندگی، بسته به نوع خاک، نوع کشت و مدیریت آبیاری در مزارع مختلف متفاوت بود. بیشترین تغذیه در مزرعه H3 با خاک لوم رسی شنی به مقدار ۲۲۱ میلی متر از ۷۸۹ میلی متر مجموع آبیاری و بارندگی (۲۸ درصد) در طول فصل کشت گیاه جو بدست آمد.

واژه‌های کلیدی: آبیاری، تغذیه، سطح آبخوان، شبیه‌سازی، HYDRUS-1D

مقدمه

بیابان آب زیرزمینی انجام شود. میزان مصرف آب در حوضه دریاچه ارومیه به طور چشم‌گیری روبه افزایش است، که بخش عمده‌ای از این مصارف مربوط به بخش کشاورزی است. از طرفی دشت‌های اطراف دریاچه ارومیه به عنوان یکی از مناطق مهم تولیدات زراعی و باغی به شمار می‌روند، اما بخاطر پایین بودن راندمان آبیاری و ضعف مدیریت منابع آب در این بخش، میزان آب مصرفی کشاورزی در آن‌ها زیاد است. با توجه به اینکه میزان تلفات آب در مزارع تحت آبیاری زیرحوضه آبریز دریاچه ارومیه درصد بالایی از آبیاری را شامل می‌شود (راندمان آبیاری ۳۸ درصد (۲))، این احتمال می‌رود که پایین بودن راندمان ناشی از نفوذ عمقی زیاد در مزارع منطقه مورد مطالعه باشد. نفوذ عمقی آب آبیاری در صورتی که وارد منابع آب زیرزمینی شود و کیفیت آب را هدر ندهد، جزء آب هدر رفته حساب نشده و باعث تغذیه آبخوان می‌شود. بنابراین یکی از مهم ترین پارامترهای

در سال‌های اخیر منابع آب زیرزمینی حوضه دریاچه ارومیه تحت تنش آبی شدید قرار گرفته است. برای آگاهی از وضعیت منابع آب زیرزمینی، برنامه‌ریزی و مدیریت بهینه آن لازم است بررسی دقیقی از

۱- دانش‌آموخته کارشناسی ارشد، گروه آبیاری و زهکشی، دانشکده کشاورزی،

دانشگاه تربیت مدرس

۲- دانشیار، گروه مهندسی و مدیریت آب، دانشکده کشاورزی، دانشگاه تربیت مدرس

(*)- نویسنده مسئول: (Email: mirlat_m@modares.ac.ir)

۳- دانشیار، گروه مهندسی آبیاری و آبادانی، پردیس کشاورزی و منابع طبیعی، دانشگاه تهران

میلی متر در سال می‌باشد. پورهت و همکاران (۱۴) در تحقیقی به بررسی تاثیر انواع سیستم‌های آبیاری بر روی تغذیه آب‌زیرزمینی در منطقه کرج پرداختند. نتایج نشان داد که حدود ۱۴/۸۳، ۰/۱۴ و ۰/۸ درصد از آب آبیاری و بارندگی به ترتیب در سیستم‌های آبیاری فارو، قطره‌ای و بارانی صرف تغذیه به آبخوان شده است. یو و همکاران (۲۱) در تحقیقی تأثیر عوامل مختلف در نوسانات سطح ایستابی در شمال چین مورد بررسی قرار گرفت. نتایج نشان داد که نفوذ ناشی آبیاری ۹۲ درصد از تغذیه آب های زیر زمینی را شامل می‌شود. هدف از این پژوهش برآورد تغذیه و نوسانات سطح ایستابی ناشی از اعمال مدیریت‌های مختلف آبیاری با در نظر گرفتن شرایط اقلیمی منطقه میاندوآب است. بدین منظور در ابتدا مدل HYDRUS-1D با استفاده از داده‌های رطوبت خاک که به صورت میدانی در شماری از مزارع با کشت گندم، جو و چغندرقد در شهرستان‌های میاندوآب و مهاباد در جنوب حوزه دریاچه ارومیه جمع‌آوری شده بود واسنجی گردید. پس از آن با استفاده از مدل واسنجی شده HYDRUS-1D تغذیه و نوسانات سطح ایستابی برای هر کدام از مزارع برآورد شد. لازم به ذکر است تمامی اراضی مورد استفاده در پژوهش تحت مدیریت کشاورزان بوده است.

مواد و روش‌ها

این تحقیق در سال زراعی ۹۴-۱۳۹۳ برای دو کشت گندم و جو پاییزه و چغندرقد بهاره در ۸ مزرعه در شهرستان‌های میاندوآب و مهاباد با مدیریت کشاورزان منطقه جهت مطالعه انتخاب شد (جدول ۱ و شکل ۱). آبیاری در تمامی مزارع به روش کرتی انجام شد و کشاورزان، کرت‌های آبیاری را با انتهای بسته آبیاری می‌کردند.

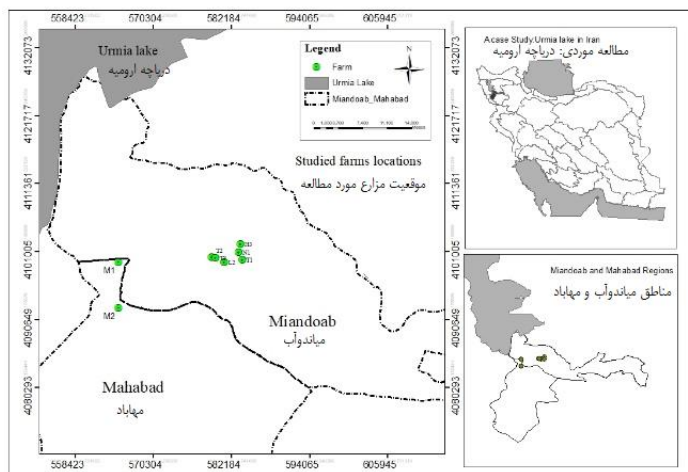
مدیریتی در بیلان آب زیرزمینی، دانستن میزان تغذیه سالانه این منابع است که کمک بسیاری در مدیریت بهره برداری از آن‌ها می‌کند. سوالی که در اینجا مطرح می‌شود این است که آیا آبیاری منجر به نفوذ عمقی و در نتیجه تغذیه به آبخوان در حوضه دریاچه ارومیه می‌شود؟ روش‌های مختلفی را برای محاسبه نفوذ عمقی می‌توان بکار برد. اکثر روش‌های تجربی به صورت معادلات ساده بوده و تخمینی از شدت نفوذ را فراهم می‌کنند. از بین روش‌های فیزیکی در برآورد نفوذ، حل معادله‌ی عمومی جریان در محیط‌های غیراشباع (ریچاردز) یکی از روش‌هایی است که بسیار مورد توجه قرار گرفته است. مدل HYDRUS-1D یکی از مدل‌های با حل عددی معادله ریچاردز شبیه‌سازی نفوذ را میسر نموده است (۱۶). از توانایی‌های این مدل می‌توان به تخمین خصوصیات خاک به روش حل معکوس اشاره کرد (۱). محققین بسیاری از این مدل در برآورد تغذیه استفاده کرده‌اند (۵، ۱۱ و ۱۳). لو و همکاران (۱۲) برای بدست آوردن تخمین بهتری از تغذیه در دشت هبی چین، پنج نقطه را در آن به عنوان نماینده کل حوضه برای بررسی اثرات آبیاری و بارندگی در تغذیه آب‌های زیرزمینی انتخاب کردند. با استفاده از مدل HYDRUS-1D تغذیه به طور متوسط در حدود ۱۷۵ میلی‌متر در سال در دشت کوهپایه‌ای غرب و ۱۳۳ میلی‌متر در سال در دشت محاسبه شد. آسفا و همکاران (۵) به منظور مدل کردن تغذیه آبخوان در حوضه اوکاناگان در کانادا، از ترکیب مدل هایدروس یک بعدی و ArcGISTM استفاده کردند. پس از ارزیابی عملکرد مدل با استفاده از داده‌های میدانی و پارامترهای هیدرولیکی خاک بدست آمده از مدل نقشه‌های زمانی و مکانی تغذیه در سراسر حوضه آبریز، تولید شد. تحلیل نتایج حاصل از ۲۵ سال تغذیه آبخوان در نقاط مختلف در سراسر حوضه، نشان داد که متوسط تغذیه آبخوان، $50/8 \pm 77/8$

جدول ۱- اطلاعات عمومی مزارع در شهرستان میاندوآب و مهاباد.

Table 1- General information of farms in Miandoab and Mahabad regions

ردیف Row	کد مزرعه Farms code	نام روستا Village name	نوع کشت Kind of planting	تاریخ کشت Date of planting	مساحت (هکتار) Area	منبع تامین آب Source of water	Xutm	Yutm
1	L2	لالکو (Lalakloo)	گندم (Wheat)	93/08/26	0.74	چاه (Well)	581199	4099363
2	N1	نظام آباد (NezamAbad)	جو (Barley)	93/08/24	0.48	رودخانه (River)*	583402	4100936
3	H3	حاج حسن (hajhasan)	جو (Barley)	93/08/23	0.55	رودخانه (River)*	4101995	4101995
4	M1	خورخوره (khorkhore)	گندم (Wheat)	93/08/13	0.92	کانال (Canal)**	565033	4099377
5	M2	خورخوره (khorkhore)	گندم (Wheat)	93/08/15	5.5	کانال (Canal)**	565072	4092432
6	T1	نظام آباد (NezamAbad)	چغندرقد (Sugarbeet)	94/01/15	0.4	رودخانه (River)*	583887	4099802
7	T2	تازه کندلکلو (Tazekandlalakloo)	چغندرقد (Sugarbeet)	94/01/15	0.62	چاه (Well)	579256	4100172
8	T3	تازه کندلکلو (Tazekandlalakloo)	چغندرقد (Sugarbeet)	94/01/15	0.78	چاه (Well)	579833	4100019

* زرينه رود. ** شبکه آبیاری و زهکشی مهاباد.



شکل ۱- منطقه مورد مطالعه

Figure 1- Case study

CROPWAT محاسبه شد.

بافت خاک هر یک از مزارع تا عمق ۱۰۵ سانتی متری به روش هیدرومتری در آزمایشگاه تعیین گردید (جدول ۲). بافت لایه‌های مختلف خاک از عمق یک متری تا سطح آبخوان از لوگ حفاری تهیه شده توسط شرکت مه‌باد قدس و مطالعات خاکشناسی شبکه آبیاری زهکشی دشت زرينه‌رود استفاده شد.

به منظور اندازه‌گیری پارامترهای بیابان آب در مزرعه‌های مورد مطالعه تغییرات رطوبت خاک به صورت دوره‌ای در طول فصل رشد با استفاده از رطوبت‌سنج PR2 که رطوبت را در اعماق مختلف تا عمق ۱۰۵ سانتی متری اندازه‌گیری می‌نماید اندازه گرفته شد. رواناب سطحی مزارع با توجه به بسته بودن انتهای آن‌ها صفر در نظر گرفته شد. تبخیر-تعرق گندم، جو و چغندر قند در منطقه از طریق مدل 8.0

جدول ۲- مشخصات بافت خاک مزارع مورد مطالعه

Table 2- Soil texture of the farms in the case study

کد مزرعه Farm code	عمق خاک Soil depth (cm)	بافت خاک Soil texture	رس Clay (%)	سیلت Silt (%)	شن Sand (%)
L2	0-30	Silty clay loam	30	46	23
	30-70	Clay loam	28	41	31
	70-100	Silty loam	9	61	30
N1	0-30	Clay Loam	20	46	34
	30-70	Clay Loam	26	48	26
	70-100	loam	20	53	27
H3	0-30	Loam	20	25	55
	30-70	Sandy clay loam	16	20	64
	70-100	Sandy loam	10	19	71
M1	0-30	Sandy clay loam	18	20	62
	30-70	Sandy loam	8	18	74
	70-100	Sandy clay loam	13	21	66
M2	0-30	Clay loam	39	36	25
	30-70	Clay	41	36	23
	70-100	Loam	23	34	43
T1	0-30	Loam	6	54	40
	30-70	Loam	5	46	49
	70-100	loam	7	35	58
T2	0-30	Silty loam	8	66	26
	30-70	Silty loam	4	84	12
	70-100	Silty loam	5	81	14
T3	0-30	Silty clay	36	51	13
	30-70	Silty clay	43	41	16
	70-100	Silty clay	41	45	14

جدول ۳- تاریخ، دبی و عمق آبیاری در طول فصل رشد

Table 3- Date, Flow and irrigation depth during growing season

کد مزرعه Farm code	تاریخ آبیاری Irrigation date	دبی (لیتر در ثانیه) Flow	ساعت آبیاری (ساعت) Irrigation time	عمق (میلی متر) Depth
L2	2015/20/04	6.98	79	260
	2015/17/05	8.7	78	250
	2015/02/06	8.7	78	250
N1	2015/29/04	51.78	3.5	133
	2015/06/05	51.7	3.5	133
H3	2014/20/10	16.7	13	142
	2015/17/04	16.7	13	142
	2015/07/05	16.7	14	150
	2015/26/05	10.2	15	98
M1	2015/06/05	34.95	6.5	88
	2015/31/05	36.34	6.5	92
M2	2015/05/06	34	16	188
	2015/31/05	37	17	207
T1	2015/22/07	14.24	9	120
	2015/18/08	16.69	9	130
	2015/05/09	27.24	8	188
T2	2015/01/08	12.92	20	155
	2015/18/08	8.87	47	250
	2015/04/09	18.58	25	277
T3	2015/05/07	14.33	30	193
	2015/27/07	14.33	20	132
	2015/18/08	15.96	43	317
	2015/10/09	14.33	26	173

عمق آبیاری

حرکت یک بعدی آب، املاح و گرما در خاک بوده که شامل حل عددی معادله ریچاردز برای بررسی حرکت آب در خاک و معادله انتقال - انتشار برای بررسی حرکت گرما و آب در خاک می باشد. در این مدل برای توصیف مشخصات هیدرولیکی خاک نظیر منحنی رطوبتی و هدایت آبی غیر اشباع روابط متعددی تعریف شده است. معمول ترین آن ها رابطه وان گنوختن - معلم (۲۰) می باشد.

شرایط اولیه و مرزی

با توجه به وجود بارش و آبیاری و وجود تبخیر - تعرق، شرایط مرزی بالادست جریان اتمسفری در نظر گرفته شد. شرایط مرزی پایین دست، در دو حالت به مدل تعریف شده و مدل سازی انجام شد. در حالتی که هدف، برآورد تغذیه به آبخوان بود، با فرض این که آب از زیر ناحیه ریشه عبور کند، شرایط مرزی پایین دست زهکشی آزاد در نظر گرفته شد. در شرایطی که هدف از مطالعه، تعیین نوسانات سطح ایستایی باشد، شرط مرزی پایین دست در مناطق با آب زیرزمینی کم

به منظور اندازه گیری عمق آبیاری فلوم های تیپ ۴ و ۵ WSC در ابتدای مزارع نصب گردید. با پایش ارتفاع آب در فلوم و رابطه مربوطه (۶) دبی و در نتیجه عمق آبیاری بدست آمد (جدول ۳).

تبخیر - تعرق گیاهی با وارد کردن اطلاعات هواشناسی منطقه میاندوآب به مدل کراو پوات بدست آمد. همچنین رطوبت خاک به صورت ادواری در طول دوره رشد گیاه محاسبه شد. در ادامه با در نظر گرفتن یک ستون خاک دو متری برای هر مزرعه به کمک مدل HYDRUS-1D و وارد کردن اطلاعات بیان آب در مقیاس مزرعه، نفوذ عمقی و تغذیه به آبخوان توسط مدل مذکور برآورد شد. لازم به ذکر است که رواناب انتهایی با توجه به بسته بودن انتهای کرت در مزارع مورد مطالعه، صفر لحاظ شد.

مدل HYDRUS-1D

مدل HYDRUS-1D یکی از مدل های پیشرفته در ارتباط با

مدل ROSETTA که مدلی واقع در مدل HYDRUS-1D می باشد، این پارامترها بدست آمد.

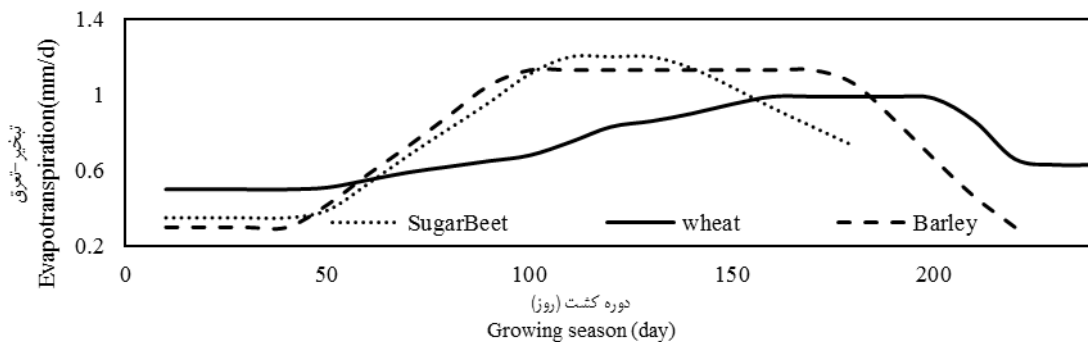
تبخیر-تعرق گیاه

از روش پنمن مانیتیت (۳) برای بدست آوردن تبخیر-تعرق مرجع استفاده شد. با داشتن طول دوره رشد هر گیاه در منطقه و مقدار ضریب گیاهی بدست آمده از این مدل (شکل ۲)، مقدار تبخیر-تعرق پتانسیل هر گیاه طبق شکل ۳ محاسبه شد. لازم به ذکر است که ضریب گیاهی با استفاده از رابطه اصلاح ضرایب گیاهی نشریه فائو ۵۶ (۴) اصلاح و به مدل CROPWAT 8.0 داده شد.

عمق، جریان ثابت با فلاکس صفر به مدل اعمال شد. از آنجایی که سطح آب زیرزمینی در منطقه مورد مطالعه، نزدیک به سطح زمین بود، شرط مرزی پایین دست جریان با فلاکس صفر در نظر گرفته شد (۵). شرایط اولیه مدل رطوبت بحرانی یا رطوبت خاک قبل از آبیاری فرض شد.

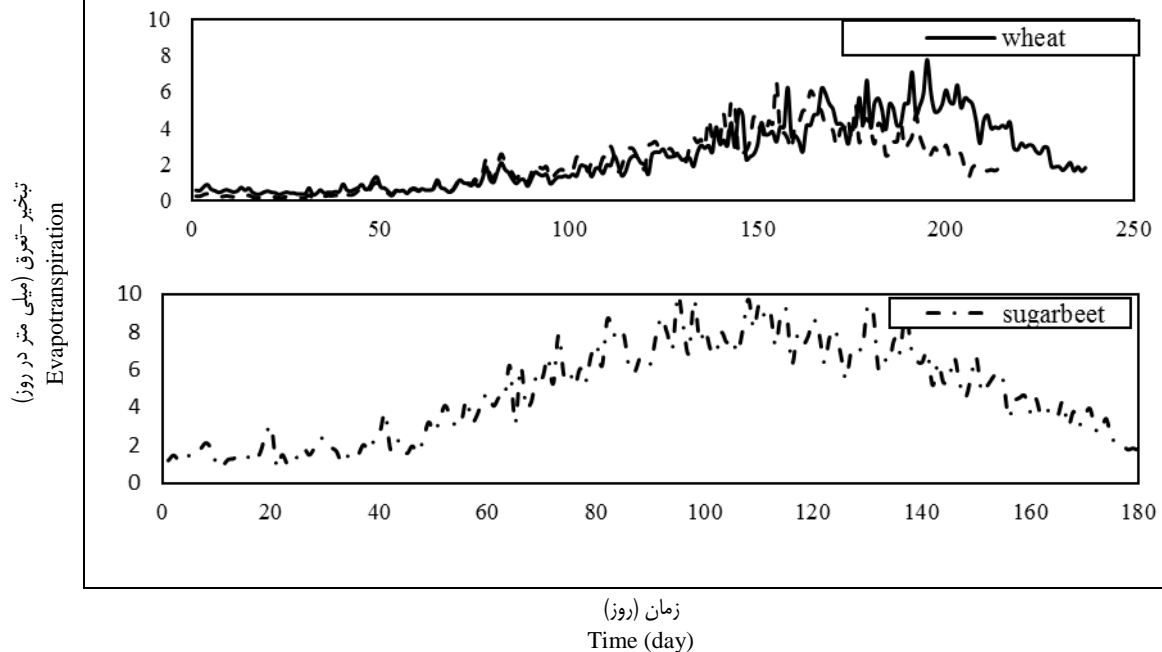
پارامترهای هیدرولیکی خاک

مدل خصوصیات هیدرولیکی خاک را براساس بافت خاک، با استفاده از رابطه وان گلوختن-معلم (۲۰) برآورد می کند. به این صورت که با وارد کردن درصد رس، شن و سیلت خاک طبق استاندارد USDA، مدل HYDRUS-1D پارامترهای هیدرولیکی خاک توسط



شکل ۲- ضریب گیاهی مربوط به گیاه گندم، جو و چغندر با استفاده از مدل کراپ وات

Figure 2- Wheat, barley and sugar beet crop coefficient estimated using CROPWAT model



شکل ۳- تبخیر-تعرق گیاه گندم، جو و چغندر با استفاده از مدل کراپ وات

Figure 3- Wheat, barley and sugar beet evapotranspiration estimated using CROPWAT model

واسنجی مدل

اشباع، ضرایب تجربی و هدایت آبی اشباع) تا عمق ۱۰۵ سانتی‌متری توسط مدل HYDRUS-1D انجام شد. برای ارزیابی کارایی واسنجی و اعتبارسنجی مدل از نمایه‌های آماری استفاده شد. این نمایه‌های آماری شامل ضریب تعیین (R^2) (۱۹)، جذر میانگین مربعات خطا (RMSE) (۷) و جذر میانگین مربعات خطای نرمال شده (NRMSE) می باشد که در ادامه رابطه هر یک آورده شده است.

$$R^2 = 1 - \frac{\sum_{i=1}^N (Y_{\text{exp},i} - Y_{\text{pre},i})^2}{\sum_{i=1}^N (\bar{Y}_{\text{exp},i} - Y_{\text{exp},i})^2} \quad \text{RMSE} = \sqrt{\frac{\sum_{i=1}^N (Y_{\text{pre},i} - Y_{\text{exp},i})^2}{N}} \quad \text{NRMSE} = \sqrt{\frac{\sum_{i=1}^N (Y_{\text{pre},i} - Y_{\text{exp},i})^2}{\bar{O}}} \quad (۱)، (۲) و (۳)$$

در این رابطه $Y_{\text{exp},i}$ مقادیر اندازه‌گیری شده رطوبت خاک، $\bar{Y}_{\text{exp},i}$ میانگین مقادیر اندازه‌گیری شده رطوبت خاک، $Y_{\text{pre},i}$ مقادیر شبیه‌سازی شده توسط مدل، \bar{O} میانگین داده‌های شبیه‌سازی شده و N تعداد کل مشاهدات می‌باشد. همچنین با توجه به اینکه داده‌ها در دو گروه مستقل بودند، از نرم‌افزار SPSS 19.0 و آزمون t به منظور مقایسه آماری داده‌های واسنجی شده و اندازه‌گیری شده استفاده شد. لازم به ذکر است که اندازه‌گیری رطوبت در مزارع مورد مطالعه، از تاریخ ۹۴/۰۲/۰۲ تا ۹۴/۰۴/۱۲ انجام شد. ۶۰ درصد داده‌های اندازه‌گیری شده در این مزرعه به منظور واسنجی و بقیه به منظور صحت‌سنجی مدل استفاده شد.

نوسانات سطح ایستابی و برآورد تغذیه در هر مزرعه

با بررسی رطوبت شبیه‌سازی شده توسط مدل در عمق‌های مختلف، تغییرات رطوبت در طول فصل کشت در حالت وجود و عدم وجود بارش (آبیاری و بارندگی) مشخص شد. در صورتی که رطوبت در هر یک از اعماق بالای سطح آبخوان در انتهای فصل کشت به حد اشباع رسیده باشد، این عمق نشان‌دهنده بالا آمدن سطح آبخوان خواهد بود. باید به این نکته توجه کرد که چه مقدار از افزایش رطوبت در عمقی که به حد اشباع رسیده است مربوط به خیز موئینگی می باشد. این موضوع با بررسی تغییرات رطوبت در حالت بدون آبیاری و بارندگی مشخص خواهد شد. شبیه‌سازی نفوذ با استفاده از مدل HYDRUS-1D در سال ۹۴-۱۳۹۳ به صورت روزانه انجام شد. سپس نتایج تغذیه روزانه ناشی از بارندگی و آب آبیاری در مزارع توسط مدل برآورد شد. عمق توسعه ریشه گیاهان مورد مطالعه در این تحقیق، حداکثر یک متر در نظر گرفته شد. بنابراین به منظور برآورد میزان تغذیه ناشی از آبیاری و بارندگی، با در نظر گرفتن ستون خاک دو متری برای هر مزرعه و با این فرض که جریان عبور کرده از انتهای ستون خاک دو متری پس از مدتی به آبخوان بر می‌گردد، میزان جریان عبور کرده از انتهای این ستون خاک به عنوان تغذیه ناشی از آبیاری و بارندگی به آبخوان در نظر گرفته شد و شرط مرزی پایین دست در مدل، زهکشی آزاد در نظر گرفته شد (۵).

نتایج و بحث

واسنجی و صحت‌سنجی

با توجه به مقایسه نتایج مدل بعد از واسنجی و داده‌های اندازه‌گیری شده، میزان ضریب تعیین (R^2) و خطای جذر میانگین مربعات (RMSE) به ترتیب بین ۰/۱۷ تا ۰/۳۳ و ۰/۱۸ تا ۰/۶۵ $\frac{\text{cm}^3}{\text{cm}^3}$ بدست آمد. از مقایسه پارامترهای آماری قبل و بعد از واسنجی، مشخص است که واسنجی مدل باعث نزدیک شدن رطوبت شبیه‌سازی شده توسط مدل در اعماق مختلف تا ۰/۶۵ متری به داده‌های رطوبت اندازه‌گیری شده توسط دستگاه رطوبت‌سنج شده است. برای اطمینان از نتایج حاصل از واسنجی مدل، نیاز به صحت‌سنجی داده‌های بدست آمده می‌باشد. دقت مدل به وسیله رطوبت‌های مشاهداتی بدست آمده از دستگاه رطوبت‌سنج PR2 از منطقه مورد مطالعه پس از واسنجی، مورد ارزیابی قرار گرفت. با مقایسه نتایج مدل در مرحله صحت‌سنجی و داده‌های اندازه‌گیری شده، میزان ضریب تعیین (R^2) و خطای جذر میانگین مربعات (RMSE) به ترتیب بین ۰/۶۲ تا ۰/۸۸ و ۰/۰۲ تا ۰/۲۳ $\frac{\text{cm}^3}{\text{cm}^3}$ بدست آمد. با بررسی رطوبت پیش‌بینی شده و اندازه‌گیری شده در تمامی مزارع تفاوت معناداری بین داده‌ها مشاهده نشد ($P\text{-value} > 0.05$). بنابراین کمترین میزان ضریب تعیین در مزرعه T3 با خاک لومی رسی و بیشترین مقدار آن در مزرعه H3 با خاک لوم شنی بدست آمد. به طور کلی، مدل دقت بیشتری در شبیه‌سازی رطوبت در خاک‌های سبک و متوسط داشت. سلامتی و همکاران (۱۶) از مدل HYDRUS-1D در شبیه‌سازی انتقال آب در آبیاری جویچه‌ای استفاده کردند. نتایج ضریب تعیین میزان رطوبت مشاهده‌ای و شبیه‌سازی شده ۶۲/۷ گزارش شد. ابراهیمیان و همکاران (۷) از داده‌های مشاهده‌ای و شبیه‌سازی شده مدل HYDRUS بعد از واسنجی در آبیاری جویچه‌ای متناوب، ۷۲ درصد برآورد شد. نتایج حاصل از واسنجی و صحت‌سنجی در این مطالعه در مقایسه با پژوهش‌های پیشین از دقت خوبی برخوردار بود.

رطوبت در اعماق بالای سطح آبخوان در مزارع مورد بررسی قرار گرفت. نتایج نشان داد که بدون آبیاری و بارندگی در مزرعه L2 خیز سطح ایستابی تا عمق ۴ متری انجام می‌گیرد (شکل ۵). بنابراین آبیاری و بارندگی ۲۶ سانتی‌متر در افزایش سطح آبخوان تأثیر داشته است با اجرای مدل در شرایط بدون بارش (آبیاری و بارندگی) در مزرعه H2 این نتیجه را می‌توان گرفت که این مقدار افزایش رطوبت خاک در اثر آبیاری و بارندگی بوده است. نتایج در حالت وجود بارش در مزرعه T1 نشان داد که رطوبت خاک تا عمق ۴/۷ متری به حد اشباع رسید. در حالتی که مدل بدون اعمال آبیاری و بارندگی اجرا شد، رطوبت خاک در عمق ۴/۷ متری از ۰/۳۵ به ۰/۳۷ $\frac{cm^3}{cm^3}$ رسید که نشان‌دهنده تأثیر خیز موئینگی بود. درحالی‌که باوجود آبیاری و بارندگی، میزان افزایش رطوبت خاک از ۰/۳۵ به ۰/۴۱ $\frac{cm^3}{cm^3}$ بود و رطوبت در این عمق به حد اشباع رسید.

با بررسی نتایج مدل در عمق‌های مختلف عمیق‌تر از عمق ۶ متر تا سطح آبخوان در مزرعه T2 (آبخوان در عمق ۹ متری) مشاهده شد که تأثیر خیز موئینگی در این مزرعه تا عمق ۷/۳ متری اتفاق افتاد در حالی که طبق شکل ۳، نوسانات سطح ایستابی با وجود بارش تا عمق ۶ متری ادامه داشت و رطوبت در این عمق از ۰/۳۵ به ۰/۴۳ $\frac{cm^3}{cm^3}$ افزایش پیدا کرد. با بررسی رطوبت خاک در شرایط با و بدون بارش در مزرعه T3 مشخص شد که تأثیر خیز موئینگی تا ۵/۵ متری اتفاق افتاده و رطوبت خاک را تا این عمق به حد اشباع رسانده، درحالی‌که با اعمال شرایط بارش در مدل، عمق ۵ متری نیز به حد اشباع رسید. بنابراین در صورتی که این مدیریت آبیاری در تمام مزارع حوضه اعمال شود، آبیاری و بارندگی ۵۰ سانتی‌متر باعث افزایش سطح آبخوان خواهد شد. فرایند آبیاری در مزارع دارای سطح آب زیرزمینی کم عمق تأثیر بیشتری در تغذیه به آبخوان دارد (۱۵).

تغذیه ناشی از آبیاری در مزارع

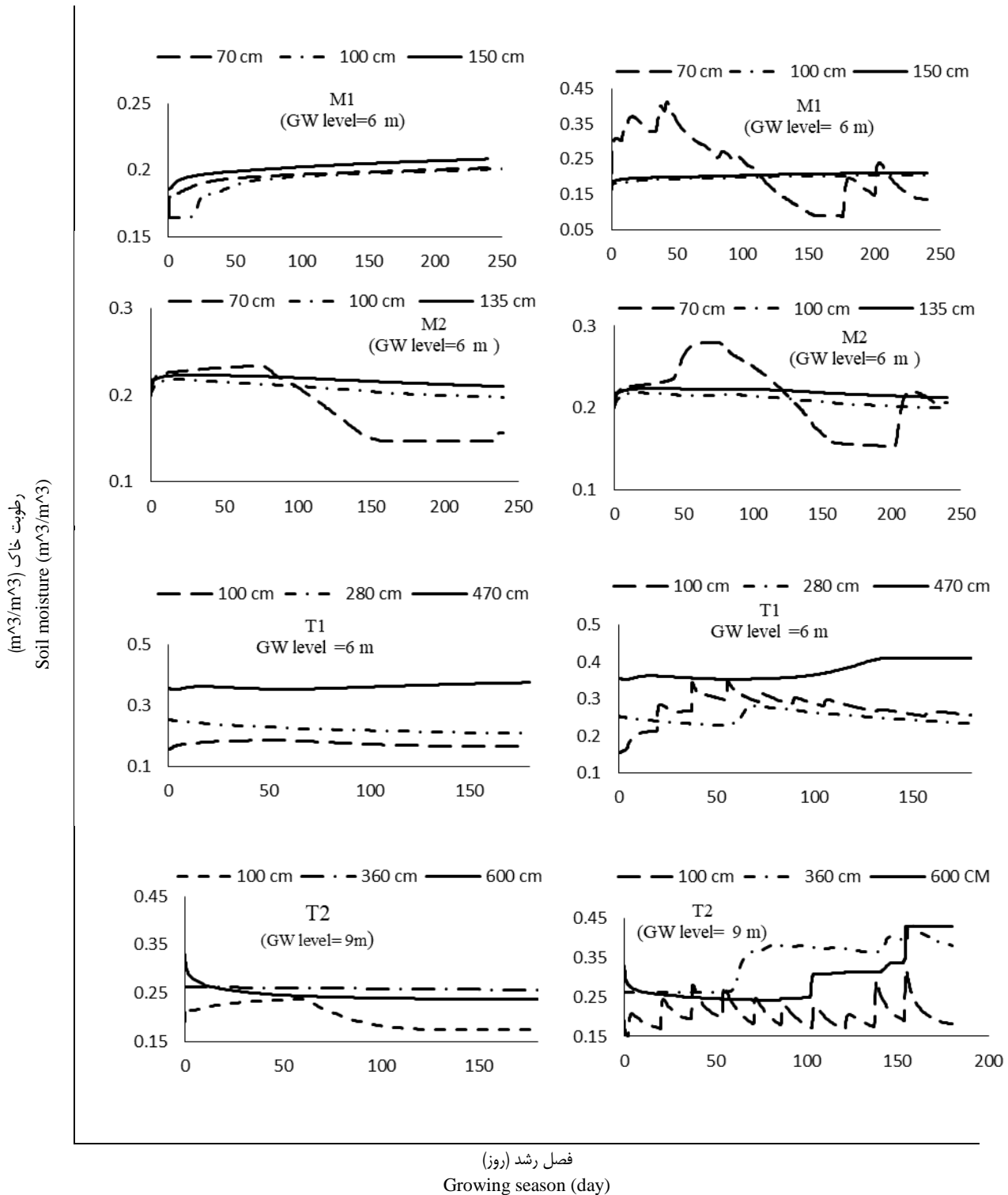
میزان تغذیه ناشی از آبیاری و بارندگی، تبخیر-تعرق واقعی و تبخیر-تعرق پتانسیل مزارع به صورت ماهانه در شکل ۶ ارائه شده است. مقدار تبخیر-تعرق واقعی و پتانسیل گیاه، از مدل فدس و همکاران (۸) بدست آمد. اختلاف بین میزان تبخیر-تعرق واقعی و پتانسیل نشان‌دهنده تنش وارد شده به گیاه می‌باشد. با توجه به شکل ۶ می‌توان گفت در تمامی کشت‌ها، بیشترین مقدار تغذیه زمانی اتفاق افتاد که میزان تبخیر-تعرق کمتر بود. میزان تغذیه در مزارع N1، M1 و M2 بسیار ناچیز بود که این به دلیل کم آبیاری زارعین بوده که مجموع آبیاری آن‌ها از نیاز آبی گیاه کمتر بود (عمق خالص آبیاری برای گندم، جو و چغندرقد در منطقه میان‌دوآب طبق محاسبات نرم افزار CROPWAT8.0، به ترتیب ۳۰۸، ۲۷۳ و ۷۳۶ میلی‌متر در فصل رشد بدست آمد).

نتایج تغییرات رطوبت خاک در عمق‌های مختلف توسط مدل و حجم آبخوان

نتایج تغییرات رطوبت خاک در عمق‌های مختلف در حالت وجود و عدم وجود بارش (آبیاری و بارندگی) شبیه‌سازی شد (شکل ۴). همانطور که مشاهده می‌شود، تغییرات رطوبت در عمق‌های مختلف خاک، بسته به مقدار به مدیریت آبیاری اعمال شده توسط کشاورز متفاوت می‌باشد؛ چنانچه در مزارع N1، M1 و M2 نفوذ عمقی ناچیز بود و در نتیجه تغییرات رطوبت خاک در طول فصل رشد در عمق‌های مختلف در مزرعه اول و دوم تا عمق ۱ متری و در مزرعه سوم تا عمق ۰/۷ متری توسط مدل شبیه‌سازی شد.

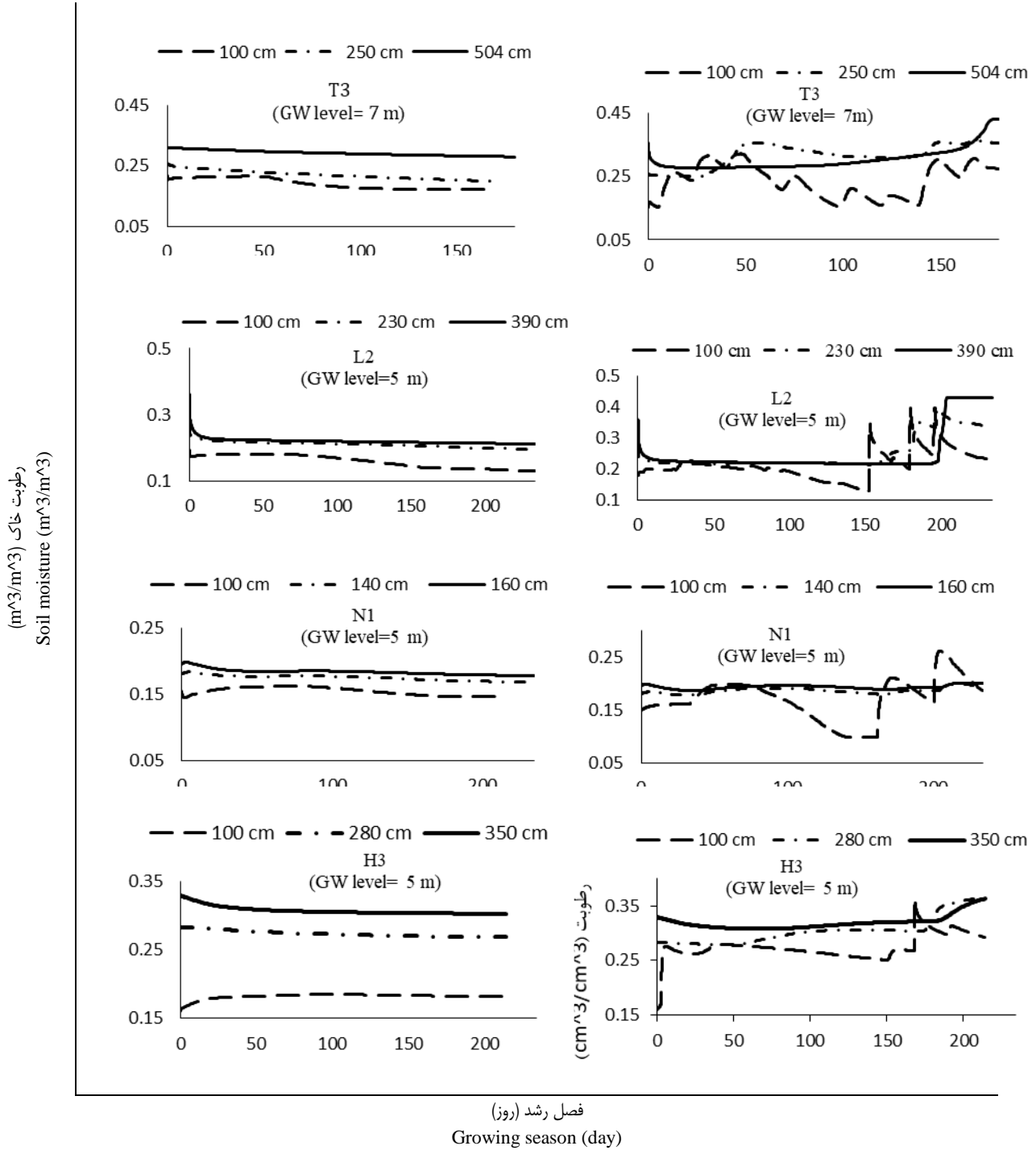
در مزرعه H3 تغییرات رطوبت خاک در عمق‌های مختلف تا ۳/۵ متری برآورد گردید. سطح آبخوان در این مزرعه در عمق ۵ متری بود. از آنجایی‌که جبهه رطوبت ناشی از آبیاری و بارندگی حداکثر تا عمق ۳/۵ متری پیشروی کرد (مزرعه H3)، با توجه به میزان آب مصرفی در این مزرعه (۷۸۹ میلی‌متر) و مقایسه آن با تبخیر-تعرق پتانسیل گیاه در منطقه (برای گیاه جو ۴۳۰ میلی‌متر)، اضافه آبیاری در این مزرعه مشاهده شد، اما پیشروی جبهه رطوبتی ناشی از آبیاری و بارندگی تا سطح آبخوان ادامه نداشت. در مزرعه L2 با کشت گندم، مقدار نفوذ عمقی زیاد بوده به طوری که افزایش رطوبت خاک در فصل کشت در این مزرعه در عمق ۳/۹ متری از ۰/۳ به ۰/۴۳ $\frac{cm^3}{cm^3}$ بوده و رطوبت خاک در این عمق به حد اشباع رسید. رطوبت به اعماق پایین‌تر از عمق ۳/۹ متری نیز رسید. بنابراین در صورتی که مدیریت آبیاری این مزرعه در کل منطقه مورد مطالعه اعمال شود، سطح آبخوان ۱/۱ متر بالا خواهد آمد (سطح آبخوان در عمق ۵ متری). البته شرایطی مانند برداشت از چاه‌ها و جریان آب زیرزمینی در این بررسی در نظر گرفته نشده است. تغییرات رطوبت خاک در مزرعه T1 در عمق ۴/۷ متری این نکته را نشان می‌دهد که رطوبت خاک در این عمق به حد اشباع رسید و پیشروی جبهه رطوبتی در اثر آبیاری و بارندگی تا این عمق ادامه داشت. در مزرعه T2 در کشت چغندرقد، تغییرات رطوبت خاک در طول فصل کشت تا عمق ۶ متری مشاهده شد و رطوبت خاک در این عمق به حد اشباع رسید. در نهایت، در مزرعه T3 افزایش رطوبت خاک در عمق‌های مختلف در اثر آبیاری تا عمق ۵ متری ادامه داشت. یکی از دلایل نفوذ عمقی بالا در مزارع L2 و T2 عمق آبیاری بالا (به ترتیب ۲۶۰ و ۲۷۷ میلی‌متر) در مزرعه بود. لاریجانی و همکاران (۱۱) در مطالعه‌ای اثر آبیاری را بر سطح آبخوان در منطقه هشتگرد مورد مطالعه قرار دادند. نتایج نشان داد که در آبیاری سطحی با توجه به اینکه عمق زیادی از آب یکباره به زمین داده می‌شود، تلفات نفوذ عمقی زیاد است.

در ادامه به منظور بررسی تأثیر خیز موئینگی در بالای سطح آبخوان، مدل در شرایط بدون آبیاری و بارندگی اجرا شد و تغییرات



شکل ۴- تغییرات رطوبت خاک در اعماق مختلف در مزارع
(شکل سمت راست با اعمال بارش و سمت چپ بدون اعمال بارش می باشد).

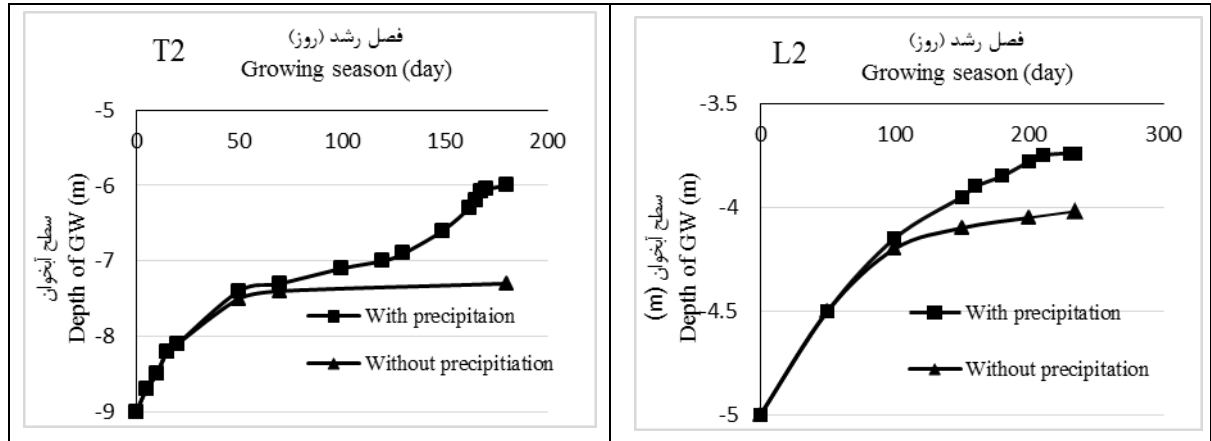
Figure 4- Soil moisture variations at various soil depths in the farms
(The right side figure is with precipitation and the left side figure is without precipitation).



ادامه شکل ۴- تغییرات رطوبت خاک در اعماق مختلف خاک در مزارع

(شکل سمت راست با اعمال بارش و سمت چپ بدون اعمال بارش می باشد).

Figure 4- Soil moisture variations at various soil depths in the farms
(The right side figure is with precipitation and the left side figure is without precipitation).



شکل ۵- نوسانات سطح آبخوان در طول فصل کشت در دو حالت با وجود بارش و بدون وجود بارش
Figure 5- Aquifer level fluctuations during the growing season with and without precipitation

خاک بر روی تغذیه مشاهده شد، به طوری که هر چه طول کرت آبیاری در مزارع بیشتر بود میزان نفوذ عمقی و در نتیجه تغذیه به آبخوان افزایش پیدا کرد. همچنین هرچه بافت خاک ناحیه ریشه سبک تر بود میزان تغذیه بیشتر بود. شکل ۷ نشان می‌دهد که تنها عمق آبیاری بر تغذیه مؤثر نیست، بلکه عواملی مانند بافت خاک و طول کرت نقش دارند. مثلاً در مزرعه T3 عمق آب آبیاری زیاد است اما بافت خاک سنگین می‌باشد.

نتیجه گیری

کشاورزی بخش عظیمی از آب زیرزمینی را مصرف می‌کند. در سال‌های اخیر منابع آب زیرزمینی در حوضه دریاچه ارومیه به دلیل استفاده زیاد از این منبع تحت تنش آبی شدید قرار گرفته است. در این مطالعه سعی شده با برآورد میزان تغذیه به آبخوان‌های کم عمق در اثر آبیاری شناخت بیشتری نسبت به تاثیر این منبع بر آب‌های زیرزمینی حاصل شود. علاوه بر این تاثیر مدیریت کشاورزان در اراضی خورده مالکی و اراضی تحت شبکه آبیاری در تغذیه آبخوان مورد بررسی قرار گرفت. به همین منظور ۸ مزرعه در جنوب حوضه دریاچه ارومیه در شهرستان‌های میاندوآب و مهاباد انتخاب شد. شبیه سازی نفوذ با استفاده از مدل HYDRUS-1D در طول دوره رشد محصولات مذکور انجام گرفت. واسنجی مدل HYDRUS-1D در مزارع، با استفاده از پایش رطوبت خاک به صورت میدانی انجام شد. پیشروی جبهه رطوبتی در عمق پروفیل خاک تا سطح آبخوان توسط مدل مذکور شبیه سازی شد. همچنین میزان تغذیه به آبخوان در طول فصل کشت در مزارع مختلف برآورد شد. با مقایسه نتایج مدل بعد از واسنجی و داده‌های اندازه‌گیری شده رطوبت خاک در روزهای مشخصی از فصل کشت، میزان ضریب تعیین و خطای جذر میانگین مربعات به ترتیب $0/06$ تا $0/85$ و $0/17$ تا $0/33$ $\frac{cm^3}{cm^3}$ به دست آمد.

با توجه به نیاز خالص و آب مصرفی گندم در مزرعه N1، راندمان کاربرد آبیاری این مزرعه ۷۰ درصد برآورد شد. بنابراین نفوذ عمقی و در نتیجه تغذیه به آبخوان بسیار ناچیز بود. بیشترین درصد تغذیه مربوط به مزرعه T2 و H3 می‌باشد که به ترتیب ۲۸ و ۲۷ درصد از آب آبیاری و بارندگی را شامل می‌شود. بافت سبک در ناحیه ریشه یکی از دلایل مقدار نفوذ عمقی زیاد و در نتیجه تغذیه در مزرعه H3 می‌باشد. همچنین طولانی بودن کرت آبیاری در مزرعه T2 دلیل مؤثر در افزایش تغذیه به آبخوان بود. گرادفرامرزی و همکاران (۹) تغذیه آب زیرزمینی را در زیرحوضه کرون در منطقه اصفهان مورد بررسی قرار دادند.

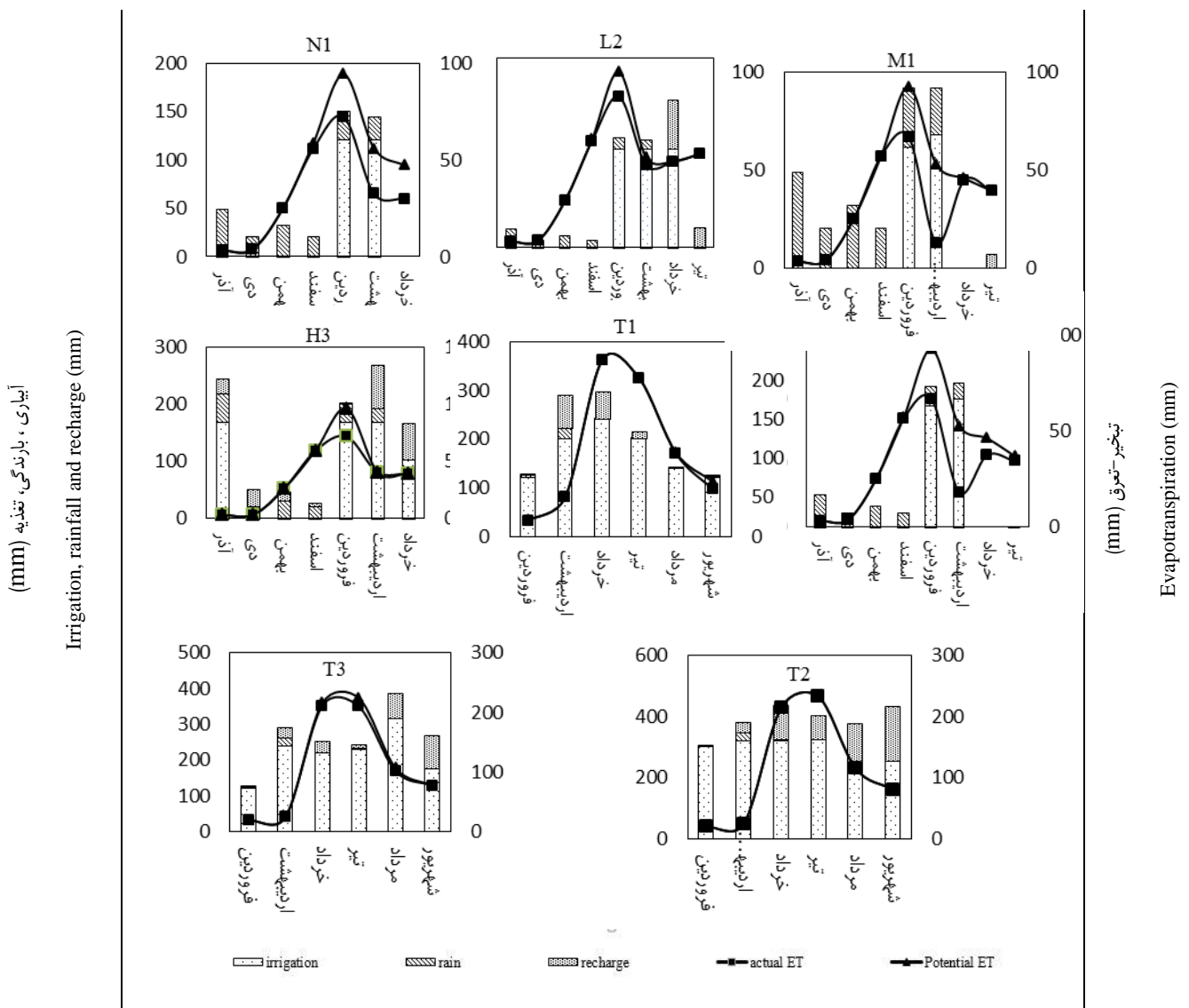
نتایج نشان داد بسیاری پارامترها مانند خصوصیات خاک، عمق سطح ایستابی، مقدار بارش، تبخیر-تعرق و عمق سطح ایستابی بر میزان آب نفوذ یافته به صورت تراوش عملی منجر به تغذیه خواهد شد مؤثرند و به دلیل وابسته بودن این پارامترها به عوامل مختلف نامعلوم در تخمین آن روش‌های مختلف تغذیه به نتایج مختلفی منجر می‌شود.

جیمز مارتینز و همکاران (۱۰) به منظور محاسبه آب برگشتی ناشی از آبیاری دو مزرعه کاهو و خربزه در کامپو کارتاجنا در جنوب شرقی اسپانیا، از مدل HYDRUS-1D استفاده کردند. نتایج نشان داد که ۲۲ تا ۶۸٪ از آب آبیاری صرف تغذیه در این حوضه می‌گردد. آن‌ها میزان تغذیه در کشت تابستان را کمتر از کشت زمستان گزارش نمودند. در تحقیق مشابهی که در منطقه کرج توسط پورهمت و همکاران (۱۸) انجام شد، تغذیه آب زیرزمینی در اراضی تحت آبیاری سطحی بین ۱۹ تا ۲۲۸ میلی‌متر برآورد شد که به مقادیر بدست آمده در این پژوهش نزدیک بود.

در شکل ۷ عوامل تأثیرگذار بر میزان تغذیه نشان داده شده است. با توجه به شکل، روند منطقی در تأثیر افزایش طول کرت و بافت

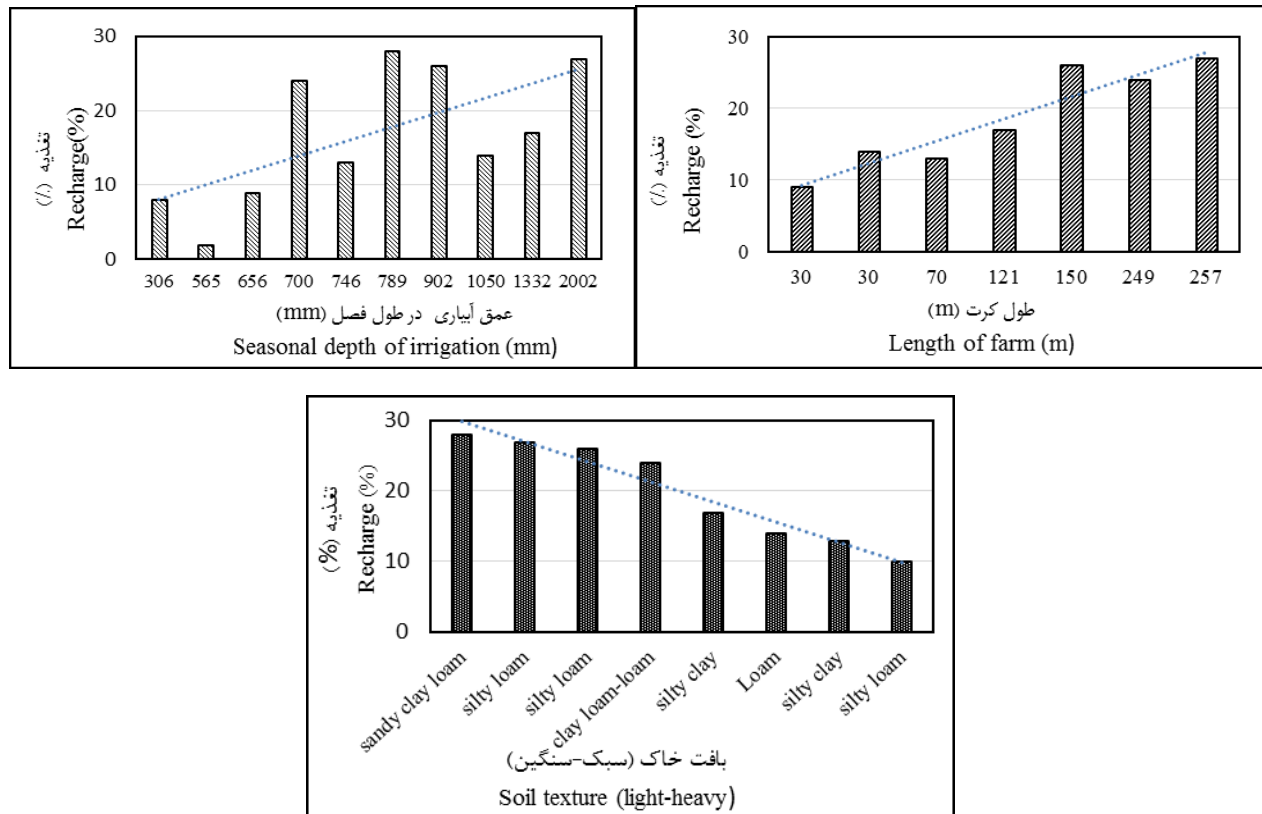
متر). البته مدیریت زارع در این امر بی تأثیر نبود. همچنین بافت خاک تأثیر زیادی در تغذیه به آبخوان داشت؛ چنانچه در مزرعه H3 و T2 با خاک سبک و متوسط، تغذیه ناشی از بارش به ترتیب ۲۲۱ و ۵۴۰ میلی متر از مجموع آبیاری و بارندگی (۷۸۹ و ۲۰۰۰/۲ میلی متر) بود. با توجه به برنامه ریزی مناسب کشاورز در مزارع M1 و M2 و اعمال به اندازه و به موقع آبیاری نفوذ عمقی کم بود و در نتیجه تغذیه به سطح آبخوان ناچیز بود (۳ و ۰/۳۵ کل بارش). نتایج بدست آمده از این تحقیق در تأثیر آبیاری در تغذیه به آبخوان، ضرورت در نظر گرفتن تلفات نفوذ عمقی در تغذیه آب زیرزمینی و لحاظ کردن آن در مدیریت منابع آب را نشان داد. همچنین نفوذ عمقی باید در مزارع به دلیل مسائل زیست محیطی (مانند آشوبی کود) به حداقل رساند.

با مقایسه نتایج مدل در مرحله صحت سنجی و داده های اندازه گیری شده، میزان ضریب تعیین (R^2) و خطای جذر میانگین مربعات (RMSE) به ترتیب بین ۰/۶۲ تا ۰/۸۸ و ۰/۰۰۲ تا ۰/۰۲۳ ($\frac{cm^3}{cm^3}$) به دست آمد. بیشترین مقدار آن در مزرعه H3 با خاک سندی لوم به دست آمد. دقت مدل بعد از انجام مراحل واسنجی و صحت سنجی در تخمین جریان آب در پروفیل خاک مناسب بود. مدل دقت بیشتری در برآورد رطوبت خاک در خاک های سبک و متوسط داشت. نتایج نشان داد که تغذیه در مزارعی که آبیاری در زمان مناسب انجام شده بود (مانند مزارع N1، M1 و M2 به مقدار ۱، ۸ و ۲ میلی متر در طول فصل کشت) کمتر از مزارعی بود که آبیاری زمان و مقدار آبیاری در آن ها نامناسب بود (مانند مزرعه H3 به مقدار ۲۲۱ میلی -



شکل ۶- تغییرات ماهانه تغذیه، آبیاری، بارندگی، تبخیر-تعرق پتانسیل و تبخیر-تعرق واقعی (mm)

Figure 6- Monthly variation of groundwater recharge, irrigation, rainfall, potential evapotranspiration and actual evapotranspiration depth (mm)



شکل ۷- درصد تغذیه در مزارع بر اساس طول کرت، عمق آبیاری در طول فصل و بافت خاک از سبک به سنگین
 Figure 7- Percentage of groundwater recharge according to lengths of borders, Seasonal irrigation depths and soil texture from light to heavy texture

مشارکت جوامع محلی در استقرار کشاورزی پایدار و حفاظت از تنوع زیستی در معرض خطر با حمایت مالی دولت زاین انجام گرفته است.

سیاسگذاری

این پژوهش با حمایت و پشتیبانی طرح حفاظت از تالاب‌های ایران و در قالب پروژه همکاری در احیاء دریاچه ارومیه از طریق

منابع

- 1- Abbasi F. 2005. Simulation of water movement in the soil, using HYDRUS-1D, Workshop on Irrigation and Drainage Modeling, National Committee on Irrigation and Drainage Iran, Tehran. (In Persian)
- 2- AhmadZadeh H. 2012. Evaluate the efficiency of agricultural water using SWAT model, case study: Zarrine rood region, Master's thesis. Faculty of agriculture, Tarbiat Modares University. (In Persian)
- 3- Allen R.G., Howell T.A., Pruitt W.O., Walter I.A., and Jensen M.E. 1991. Lysimeters for evapotranspiration and environmental measurements. The Standardized Reference Evapotranspiration Equation.
- 4- Allen R.G., Pereira L.S., Raes D., and Smith M. 1998. Crop evapotranspiration-Guidelines for computing crop water requirements-FAO Irrigation and drainage paper 56. FAO, Rome, 300(9):D05109.
- 5- Assefa K.A., and Woodbury A.D. 2013. Transient, spatially varied groundwater recharge modeling. Water Resources Research 49(8): 4593-4606.
- 6- Chamberlain A.R. 1952. Measuring water in small channels with WSC flume. Washington Agricultural Experiment Stations, Institute of Agricultural Sciences, State College of Washington.
- 7- Ebrahimian H., Liaghat A., Parsinejad M., Playán E., Abbasi F., and Navabian M. 2013. Simulation of 1D surface and 2D subsurface water flow and nitrate transport in alternate and conventional furrow fertigation. Irrigation Science 31(3): 301-316.
- 8- Feddes R.A., Kowalik P.J., and Zaradny H. 1978. Simulation of field water use and crop yield. Centre for Agricultural Publishing and Documentation, Wageningen, The Netherlands.
- 9- Geradfarmarzi S., and Abedi Koupai J. 2010. Quantification of groundwater recharge in Isfahan (Iran) using the

- CRD model. *Journal of Water and Wastewater* 21(4): 92-97
- 10- Jiménez-Martínez J., Skaggs T.H., Van Genuchten M.T., and Candela L. 2009. A root zone modelling approach to estimating groundwater recharge from irrigated areas. *Journal of Hydrology* 367(1): 138-149.
 - 11- Larijani S.H., Noori H., and Ebrahimian H. 2017 Estimating groundwater recharge by HYDRUS-1D model (Case study: Hashgerd). *Iranian Journal of Irrigation and Drainage* 4(11):572-585 (In Persian with English abstract)
 - 12- Lu X., Jin M., van Genuchten M.T., and Wang B. 2011. Groundwater recharge at five representative sites in the Hebei Plain, China. *Ground Water* 49(2):286-294.
 - 13- Neto D.C., Chang H.K., and van Genuchten M.T. 2016. A mathematical view of water table fluctuations in a shallow aquifer in Brazil. *Groundwater* 54(1): 82-91.
 - 14- Porhemmat J., Nakhaei M., Dadgar M.A., and Biswas A. 2018. Investigating the effects of irrigation methods on potential groundwater recharge: A case study of semiarid regions in Iran. *Journal of Hydrology* 565:455-466.
 - 15- Qiguang D.O.N.G., Weibo Z.H.O.U., Yang Z.H.A.N.G., Ying H.O.U., Zenghui S.U.N., and Na L.I. 2017, November. Effects of irrigation on groundwater recharge under deep buried depth condition. In *IOP Conference Series: Earth and Environmental Science* 94(1): 012159.
 - 16- Salamati N., Delbari M., Abbasi F., Sheini Dashtgol. 2016. A Simulation of Water and Nitrate Transport in Soil Using HYDRUS-1D Model in Furrow Irrigation of Sugarcane. *Journal of Water and Soil Science -Isfahan University of Technology* 19(74): 179-192
 - 17- Šimůnek J., Van Genuchten M.T., and Šejna M. 2006. The HYDRUS software package for simulating two- and three-dimensional movement of water, heat, and multiple solutes in variably-saturated media. *Technical Manual Version, 1:241*.
 - 18- Šimunek J.I.Ī.Ī., and Hopmans J. 2002. 1.7 Parameter Optimization and Nonlinear Fitting. *Methods of Soil Analysis: Part 4 Physical Methods* 1(5): 139-57.
 - 19- Steel R.G.D., and Torrie J.H. 1960. Principles and procedures of statistics. Principles and procedures of statistics.
 - 20- Van Genuchten M.T. 1980. A closed-form equation for predicting the hydraulic conductivity of unsaturated soils. *Soil Science Society of America Journal* 44(5): 892-898.
 - 21- Yue W., Liu X., Wang T., and Chen X. 2016. Impact of water saving on groundwater balance in a large-scale arid irrigation district, Norg west China. *Irrigation Science* 1-16.

Effects of Irrigation Water Management on Fluctuations of Shallow Groundwater Level (Case Study: Miandoab and Mahabad Regions)

A. Firoozi¹- S.M. Mirlatifi^{2*}- H. Ebrahimian³

Received: 29-04-2019

Accepted: 30-05-2020

Introduction: Agriculture consumes a large portion of groundwater resources. In order to understand the status of groundwater resources in a basin and to optimize its management, it is necessary to carry out an accurate examination of the fluctuations in the groundwater levels. Recharging groundwater aquifers is one of the main strategies for water resources management which its accurate estimation plays a crucial role in the proper management of ground water resources. That portion of the excess irrigation water which becomes in the form of deep percolation should not be considered as wasted water, if its quality is not adversely reduced and it enters and recharges groundwater aquifers. The question is whether deep percolations resulting from irrigating farms with low application efficiencies and poor irrigation management in the Urmia basin would finally recharge ground water aquifers or not. In order to provide a solution to the aforementioned question, after calibrating HYDRUS-1D model, it was used to estimate the fluctuations of the levels of the water tables as a results of irrigations or rainfalls in a number of wheat, barley and sugar beet fields located in Miandoab and Mahabad regions where all agricultural practices were managed and carried out by the local farmers.

Materials and Methods: In order to ascertain the effects of irrigation on the groundwater recharge, the required field data was collected from nine agricultural fields including one wheat farm, three barley farms, and three sugar beet farms, all located in the Miandoab region and two wheat fields located in the Mahabad region. All the water balance parameters for each one of the fields were measured in the studied fields, including the depth of irrigation at each irrigation event by using WSC flumes. The Surface runoff from the studied farms was considered as negligible, since all the fields were irrigated using closed end borders. The evapotranspiration of wheat, barley and sugar beet were calculated in the regions using the CROPWAT8.0 model.

The soil texture of each of the study fields were determined by hydrometric method in the laboratory and then soil hydraulic parameters were estimated by ROSETTA model. The soil moisture of all the fields during the growing season were measured using a PR2 moisture meter instrument measuring soil moisture at various depths up to 105 cm below the soil surface. The amount of deep percolation occurring during the growing season was simulated by the HYDRUS-1D model. The soil water content measured by PR2 (Delta-T Device) probe were used for HYDRUS-1D model calibration and validation using the inverse solution method. Because of the occurrence of rainfall, irrigation and evapotranspiration, the atmospheric boundary condition was selected as the upper boundary condition and free drainage was considered as the lower boundary condition in order to estimate the groundwater recharge, assuming that water passes through and below the root zone. In areas with shallow ground water depth, constant flow with zero flux was chosen as the lower boundary condition in order to determine the fluctuations of the ground water level. Since the groundwater level in this case study was shallow, zero flux was considered as the lower boundary condition. The soil moisture content before irrigation was selected as the modelling initial condition.

Result and Discussion: The HYDRUS-1D model was calibrated by comparing the model estimated soil moisture contents with the corresponding measured values which indicated the coefficient of determination (R^2) and root mean square error (RMSE) values ranging from 0.6 to 0.85 and 0.17 to 0.033 ($\frac{cm^3}{cm^3}$), respectively.

Another set of measured soil moisture data which was collected by using PR2 instrument and was not used for

1- Former Graduate Student, Department of Irrigation and Drainage, Faculty of Agriculture, Tarbiat Modares University, Tehran, Iran.

2- Associate Professor, Department of Water Engineering and Management, Faculty of Agriculture, Tarbiat Modares University, Tehran, Iran

(*- Corresponding Author Email: mirlat_m@modares.ac.ir)

3- Associate Professor, Department of Irrigation and Reclamation Eng, College of Agriculture and Natural Resources, University of Tehran, Iran

DOI: 10.22067/jsw.v34i3.80020

calibrating the model, was applied to verify the model simulation of the soil moisture content. Comparing the measured and simulated soil moisture contents at this verification stage resulted in coefficient of determination (R^2) and root mean square error (RMSE) values ranging from 0.62 to 0.88 and 0.002 to 0.023 ($\frac{\text{cm}^3}{\text{cm}^3}$), respectively. There was no significant difference between the predicted and measured soil moisture data in all the fields ($P\text{-value} > 0.05$). The minimum and the maximum coefficient of determinations in the validation stage were obtained in the T5 field with a silty loam soil and in the H3 field having a sandy loam soil. The accuracy of the model performance after it was calibrated and verified using the collected field data, was appropriate for estimating the soil water content during the growing season. The model was used to simulate the soil water contents from the soil surface to the depth of the water table during the growing season to evaluate the degree of aquifer recharge if any happened. The soil moisture front advanced to a depth of 0.7 m below the soil surface in the M1 field and to 4.7 m in the T1 field. The amount of groundwater recharge varied from field to field depending on each field's soil type, cultivation and irrigation management including the depth and the time of the irrigations. The amount of groundwater recharge increased by decreasing crop evapotranspiration. The percentage of ground water recharge in N1, M1 and M2 fields due to limited availability of water resources which resulted in deficit irrigation was very low. The irrigation water requirements estimated by the CROPWAT model for the aforementioned fields were more than the depths of the irrigation water applied by the farmers. The CROPWAT model estimated the irrigation water requirements during the growing season for wheat, barley and sugar beet in the Miandoab region to be 308, 273 and 736 mm, respectively. However, the depths of irrigation applied to such farms ranged from 306 to 500 mm.

Conclusion: This research was conducted to ascertain the effects of local farmer's irrigation management practices considered as poor management in some areas with plenty of water resources available and rainfall on the amount of the groundwater recharge occurring in the regions studied located in the Lake Urmia basin. The simulated groundwater recharge by the HYDRUS-1D model indicated that the amount of recharge varied from field to field depending on soil type, cultivation and irrigation management practices. In all the fields, the highest amount of groundwater recharge occurred when the crop evapotranspiration was low and therefore, enhancing deep percolation to take place. The highest percentage of groundwater recharge was 28% of the sum of the irrigation and rainfall depths which occurred in the barley field (H3).

Keywords: Groundwater level, HYDRUS, Irrigation, Recharge, Simulating